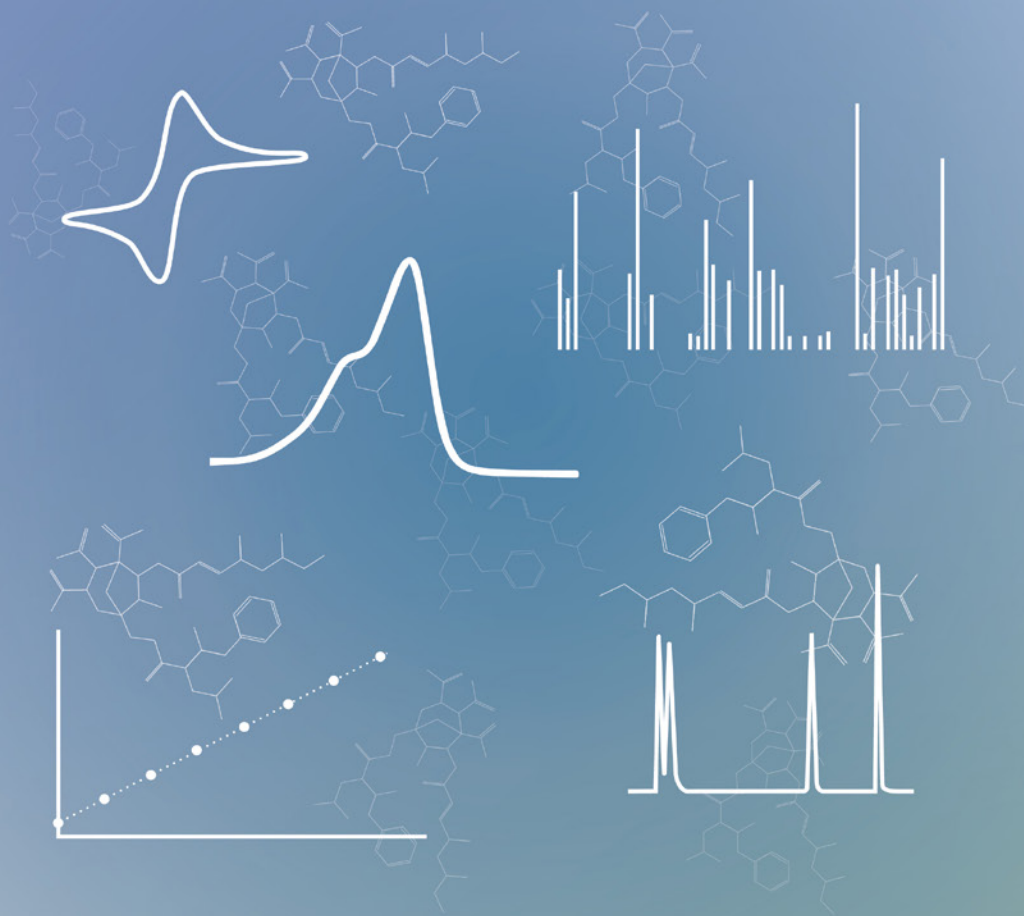


ÍNDICE DE RESÚMENES





1. JORNADA DE ESPECIACIÓN:

Conferencia plenaria

EPL1 - Speciation challenges from 2d to 3d applied environmental and food applications: a long journey. [Olivier F.X. Donard](#)

Comunicaciones orales

EOR1 - Bioaccesibilidad in vitro de (nano)partículas de TiO₂ y SiO₂ presentes en productos de confitería. Citotoxicidad y efecto sobre la microbiota. [Elena Espada Bernabé](#)

EOR2 - Estrategias analíticas para el estudio de la actividad bactericida de iones plata y nanopartículas y sus efectos sinérgicos con antibióticos. [Isabel Abad Álvaro](#)

EOR3 - Antimonio en bebidas embotelladas en PET: estudios de migración. [Angels Sahuquillo Estrugo](#)

EOR4 - Determinación de Hg, Se y especies de Se en productos procesados derivados de pescados y sus materias primas. Estudios de bioaccesibilidad Y toxicidad mediante ensayos In Vitro. [Tamara Fernández Bautista](#)

EOR5 - Caracterización de nanopartículas en muestras de orina y sangre mediante la técnica SP-ICP-MS. [Gabriel Fernández](#)

EOR6 - Detección ultrasensible y cuantificación de compuestos de oxígeno en muestras complejas mediante GC-Comb-MS. [Montserrat Redondo Velasco](#)

EOR7 - Caracterización de formas particuladas de mercurio en tejidos de animales acuáticos por espectrometría de masas con plasma de acoplamiento inductivo en modalidad de detección individual de partículas. [Marta Hernández Postigo](#)

EOR8 - Bioaccesibilidad y biodisponibilidad in vitro de nanopartículas de Ag y TiO₂ en algas marinas usando células Caco-2. [M. Carmen Barciela Alonso](#)

EOR9 - Metabolismo de especies de selenio en plantas mediante HPLC-ICP-MS y trazadores isotópicos múltiples. [Gustavo Moreno Martín](#)

2. XXIV REUNIÓN SEQA

Conferencias plenarias

PL1 - Dispositivos Biosensores Nanofotónicos: herramientas avanzadas para el diagnóstico clínico descentralizado. [Laura M. Lechuga Gómez](#)

PL2 - High-throughput analysis on microfluidic device. [Petra S. Dittrich](#)

PL3 - Contaminantes emergentes en alimentos: estrategias analíticas alternativas para su detección y conexión con el exosoma. [Ana M. García Campaña](#)

PL4 - Chemical analysis in planetary exploration. The instrument suite of the NASA's MARS 2020 mission Perseverance rover. [Javier Laserna Vázquez](#)



Conferencias invitadas

INV1 - The circular analytical chemistry opportunity. [Elia Psillakis](#)

INV2 - Comprehensive research of organic (micro)pollutants in the aquatic environment: role of chromatography-HRMS. [Félix Hernández Hernández](#)

INV3 - Non-targeted Metabolomics to decipher plants and food chemical composition. [Laura Righetti](#)

Conferencias orales

O01 - Evaluación de la cromatografía en contracorriente para aislar arsenoazúcares presentes en algas. [José Fermín López Sánchez](#)

O02 - Determinación de elementos endógenos y proteínas diana en exosomas aislados del secretoma celular y suero de ratón empleando ICP-MS. [Jaime Martínez García](#)

O03 - El Fe como elemento clave para el diagnóstico diferencial de ictus en exudado nasal: estudios básicos mediante análisis elemental, especiación y determinación de proteínas. [Diana Lara Lobo Revilla](#)

O04 - Determinación de plomo y sus isótopos en hormigón mediante HR-ICP-MS. [Ángela De La Hoz Nieto](#)

O05 - Espectrometría de masas elemental y molecular, un tándem para la cuantificación absoluta de (fosfo) proteínas. [Francisco Calderón Celis](#)

O06 - "Cuantificación de secuencias de miRNA en suero sanguíneo sin necesidad de amplificación empleando nanopartículas metálicas como marcas elementales y espectrometría de masas (ICP-MS). [Mario Corte Rodríguez](#)

O07 - Single-cell ICP-MS como herramienta analítica en estudios de neurotoxicidad. Evaluación del efecto protector de distintas especies de selenio frente a la toxicidad del mercurio en células de neuroblastoma humano (SH-SY5Y). [Beatriz Gómez Gómez](#)

O08 - Envases de silicona de uso alimentario: migración de platino y riesgo de exposición. [Miguel Klaiber Aboitiz](#)

O09 - Estudio comparativo de diferentes metodologías para la caracterización del tamaño de micro/nano partículas mediante SP-ICP-MS. [Antonio Bazo](#)

O10 - Paper-based analytical devices for the analysis of glycoproteins and glycans. [Jesús Alberto Escarpa Miguel](#)

O11 - Detección fiable del estado mutacional de genes de relevancia en diagnóstico y pronóstico de cáncer empleando bioplataformas electroanalíticas de vanguardia. [Víctor Ruiz-Valdepeñas Montiel](#)

O12 - Nuevos biodispositivos electroquímicos para mejorar el pronóstico oncológico analizando el metiloma de los miARNs . [Eloy Povedano Muñumel](#)

O13 - Cost-effective fully 3D-printed on-drop electrochemical sensor: a comparative study with screen-printed sensors. [Agustín González Crevillén](#)

O14 - Sensor electroquímico selectivo hacia BPA en aguas residuales mediante polímeros de impresión molecular sobre óxido de grafeno magnético. [Antonio Jesús Ruiz Sánchez](#)



- O15** - Electrodo serigrafiado flexible basado en quitosano y nanopartículas de oro para la determinación de analitos de interés clínico. [Concepción Rodríguez Oñate](#)
- O16** - Sensores wearable basados en micro agujas para la monitorización in vivo de analitos de relevancia clínica. [Águeda Molinero-Fernández](#)
- O17** - Detección de vesículas extracelulares: un enfoque rápido y de alta sensibilidad. [Clara Saweres Argüelles](#)
- O18** - Tratamiento de muestra con nuevos dispositivos impresos en 3D: un mundo nuevo de posibilidades. [Enrique Javier Carrasco Correa](#)
- O19** - Development of an environmentally friendly dispersive liquid-liquid microextraction method using natural deep eutectic solvents for the determination of industrial chemicals in water sample. [Beatriz Gómez-Nieto](#)
- O20** - Tratamiento de muestra acoplado a espectrometría de masas: diseño de interfases asequibles basadas en agujas. [Jaime Millán-Santiago](#)
- O21** - Metal-Organic Frameworks for the microextraction of liver diseases biomarkers. [Idaira Pacheco-Fernández](#)
- O22** - Empleo de biodisolventes supramoleculares verdes para el cribado de contaminantes de materiales en contacto con alimentos mediante LC-QTOF. [Laura Garcí Cansino](#)
- O23** - Retos analíticos para la determinación de aditivos plásticos no ftálicos en suelo y agua. [Raquel Capilla Flores](#)
- O24** - Natural deep eutectic solvent-based liquid-liquid microextraction for bisphenols extraction from water samples. [Iván Rubio Santos](#)
- O25** - Nuevas estrategias de microextracción basadas en la dispersión de materiales magnéticos para el análisis de muestras biológicas de bajo volumen. [Alberto Chisvert](#)
- O26** - FREE-MetabOliva, un método sencillo de preparación de muestras para análisis no dirigidos de aceitunas: una prueba de concepto. [Carlos A. Ledesma Escobar](#)
- O27** - Progress in the use of magnetic ionic liquids in sample preparation. [María José Trujillo Rodríguez](#)
- O28** - Aplicación de enfoques ómicos avanzados para garantizar la autenticidad de tomillo: análisis fingerprinting mediante resonancia magnética nuclear de protón (^1H NMR) y fusión de datos multitécnica (cromatografía-espectrometría de masas de alta resolución). [Araceli Rivera Pérez](#)
- O29** - Detección y cuantificación de fraudes en mieles adulteradas con jarabes mediante huellas generadas por HPLC-UV y quimiometría. [Oscar Núñez](#)
- O30** - Optimización de parámetros de adquisición de espectros LF-NMR altamente informativos para su utilización como huellas instrumentales no específicas en el desarrollo de métodos analíticos multivariable. [Alejandra Arroyo Cerezo](#)
- O31** - Canela verdadera: autenticación y detección de fraudes por HPLC-UV. [Clara Pérez-Ràfols](#)
- O32** - Desarrollo de una estrategia no separativa para la determinación semicuantitativa de metabolitos de hidrocarburos aromáticos policíclicos en orina. [Ana Ballester Caudet](#)
- O33** - Mejorando el diagnóstico basado en espectroscopía mediante modelado in silico del espectro infrarrojo de la orina. [Víctor Navarro Esteve](#)
- O34** - Caracterización de la selectividad en cromatografía de líquidos: aplicación del modelo rápido de Abraham a sistemas HILIC. [Xavier Subirats](#)



O35 - Búsqueda de marcadores de rechazo para establecer las condiciones de almacenamiento y conservación óptimas de cebos proteicos para el control de vespa velutina. [Omaira De La Hera Fernández](#)

O36 - Mejora en las predicciones de retención en cromatografía líquida utilizando columnas en serie: (I) uso de modelos globales. [Pau Peiró Vila](#)

O37 - A Comprehensive study of the influence of user-defined data processing parameters for feature extraction using LC-HRMS-based non-target screening for environmental monitoring. [Ana B. Martínez Piernas](#)

O38 - Evaluación del contenido en residuos de pesticidas orgánicos en vinos procedentes de distintas denominaciones de origen de Galicia y La Rioja. [Victoria Fernández Fernández](#)

O39 - Estudio comparativo del consumo de sustancias adictivas en diferentes zonas de la comunidad de Madrid mediante el análisis de aguas residuales. [Emma Gracia Lor](#)

O40 - Desarrollo de una nueva metodología analítica para la determinación de betaínas y compuestos de amonio cuaternario en productos apícolas. [Beatriz Martín Gómez](#)

O41 - Aplicación de técnicas cromatográficas para evaluar el efecto de la aromatización en la calidad del aceite de oliva virgen. [Enrique Jacobo Díaz Montaña](#)

O42 - Evolución de los carbohidratos no estructurales de aguacates de las variedades bacon, fuerte y hass durante la maduración post-cosecha. [María Gemma Beiro Valenzuela](#)

O43 - Combinación de SUPRAS Y LC-HRMS para la identificación de contaminantes de preocupación emergente en el agua de grifo de 12 países del mundo: distribución y evaluación preliminar del riesgo de exposición. [Luis Muñiz De Bustamante](#)

O44 - Determinación de sustancias perfluoroalquiladas (pfas) reguladas en agua de bebida de España y otros países según La Directiva 2020/2184/EU. [Javier López Vázquez](#)

O45 - Synthesis, identification, and quantification of migrant oligoesters from starch-based food contact materials. [David Rupérez Cebolla](#)

O46 - Estudio de la seguridad química del uso de vajillas desechables mediante el análisis de migración de volátiles y no volátiles. [Javier Blázquez-Martín](#)

O47 - Determinación de contaminantes de preocupación emergente en muestras de moluscos y pescados de la costa portuguesa mediante cromatografía líquida y de gases acopladas a espectrometría de masas. [Sandra Méndez Martínez](#)

O48 - Analytical strategies to monitor 3,5- dihydroxycinnamic acid as urine biomarker of gluten intake. [Yolanda Moliner Martinez](#)

O49 - Desarrollo y aplicación de un método analítico para la determinación de productos finales de glicación avanzada en biofluidos humanos. [Ana Castillo Luna](#)

O50 - Análisis de saliva para el diagnóstico precoz del cáncer de pulmón: medición de niveles de expresión de hexanal y heptanal. [Juan L. Benedé](#)

O51 - Desarrollo de una metodología analítica mediante LC-MS/MS Sensible y selectiva para la determinación de biomarcadores de estrés oxidativo (4H2N Y MDA) en plasma seminal humano. [Manuel Alfaro Gómez](#)

O52 - Vesículas extracelulares como sistema transportador de fármacos para la terapia fotodinámica del cáncer de mama. [María Luisa Fernández Sánchez](#)

O53 - Mejora de la precisión en terapia fotodinámica antitumoral: desarrollo y evaluación bioanalítica de un nuevo nanosistema inteligente basado en Rh. [Alejandro García García](#)



XXIV Reunión de la SEQA

Sociedad Española de Química Analítica



ZARAGOZA 1-3 JULIO 2024

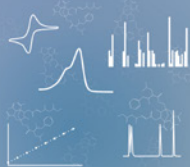
- O54** - Identificación y cuantificación del perfil de glicosilación del anticuerpo monoclonal cetuximab mediante mapa peptídico (RP)UHPLC-HESI(orbitrap)MS/MS. [Natalia Navas Iglesias](#)
- O55** - Nuevos nanosistemas inteligentes basados en selenio como herramienta frente al cáncer de mama: Evaluación funcional mediante tecnologías ómicas, [María Del Pilar Buendía Nacarino](#)
- O56** - Determinación de contaminantes orgánicos en células y su concentración biodisponible como metodología alternativa para predecir la bioacumulación. [Paloma De Oro Carretero](#)
- O57** - Utilización de precolumnas acopladas a espectrometría de masas como estrategia rápida de análisis para la determinación de compuestos endógenos y exógenos en matrices biológicas. [Ana María Casas Ferreira](#)
- O58** - El papel actual de la espectrometría de la fluorescencia de Rayos X en el campo de la Química Analítica: avances y nuevas aplicaciones ambientales e industriales. [Eva Marguí Grabulosa](#)
- O59** - Análisis ambiental de lodos de lagos glaciares mediante espectroscopía de descomposición inducida por láser. [Juan Buil García](#)
- O60** - Implementación de regresión multivariada para cuantificación de objetos de vidrio mediante FRX portátil. [Diego Ahumada](#)
- OP1** - Caracterización de nanopartículas de oro en matrices biológicas por single particle ICP-MS. [Meritxell Cabré Boqué](#)
- OP2** Recent advances in speciation analysis by high-sensitivity SQ-ICP-MS. [Rui Santos](#)
- OP3** No sólo de análisis vive el dato. [Esther Albertín](#)

Posters

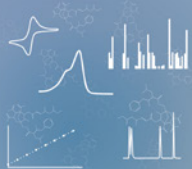
- P1** - Caracterización, clasificación y autenticación de productos cárnicos mediante huellas HPLC-UV y quimiometría. [Oscar Núñez](#)
- P2** - ¿Puede la impresión 3D proporcionar nuevos sistemas agitadores para mejorar la extracción en fase sólida dispersiva? [Clara Ochoa Estesos](#)
- P3** - Nuevo sistema de extracción basado en disco rotativo impreso en 3D para el análisis de herbicidas. [Paula Molina Brotons](#)
- P4** - Purificación de extractos de hoja de olivo mediante resinas poliméricas para la recuperación de polifenoles. [Aina Mir Cerdà](#)
- P5** - Determinación de hormonas en aguas mediante dispositivos 3D modificados con redes metal-orgánicas. [Miguel Ángel Martínez Briones](#)
- P6** - Determinación Voltamperométrica de Eugenol, Cinamaldehído y Cumarina para la discriminación de especies de canela. [Nuria Serrano Plana](#)
- P7** - Discriminación de hierbas relajantes mediante una lengua electrónica voltamperométrica. [Nuria Serrano Plana](#)
- P8** - Fusión de datos cromatográficos y espectroscópicos para la autenticación de hierbas relajantes. [Clara Pérez-Ràfols](#)
- P9** - Extracción con líquidos presurizados y determinación GC/MS de contaminantes modelo en HDPE: aplicación al reciclaje de poliolefinas posconsumo utilizando limoneno. [María Teresa Tena](#)
- P10** - Green determination of regulated PAHs in edible oils. [Lourdes Ramos](#)
- P11** - Sistema de extracción en fase sólida basados en disco rotativo fabricados mediante impresión 3D con materiales sostenibles y modificados con redes metal-orgánicas. [Alejandro Gil Aparicio](#)



- P12** - Bioimágenes cuantitativas de la distribución de proteínas en células individuales mediante ablación láser acoplada a ICP-MS: Nanopartículas metálicas y rojo de Rutenio como marcadores. [Rosario Pereiro](#)
- P13** - Nanoagitación magnética para una transferencia de materia mejorada en medidas espectroelectroquímicas de reflexión. [José Manuel Díaz Cruz](#)
- P14** - Detección voltamperométrica de dopamina utilizando electrodos serigrafados de carbono con recubrimientos capa a capa de polímeros. [José Manuel Díaz Cruz](#)
- P15** - Deep eutectic solvents to extract anthocyanins from red grape skins: experimental and computational approaches for solvent selection. [María Teresa Tena](#)
- P16** - Uso De Dispositivos Basados En Papel Modificados Con Aptámeros Para La Extracción De Bisfenoles De Muestras Ambientales. [Alba Roselló Carrió](#)
- P17** - Evaluación Del Efecto De La Suplementación Con Zn En Proteínas Y Metales Diana En Secciones De Encéfalo Del Modelo Transgénico De Ratón APP/PS1 Mediante LA-ICP-MS. [Jaime Martínez García](#)
- P18** - Nuevas Estrategias Para La Detección Celular Mediante Single Cell ICP-MS: Determinación De Proteínas En Células De Müller Sometidas A Hipoxia. [Alicia Villa Vázquez](#)
- P19** - Efectos De La Suplementación Con Zn En El Metabolismo De Cu, En Suero Y Tejido Hepático, En Un Modelo Experimental De La Enfermedad De Alzheimer. [Marta Marina Latorre](#)
- P20** - Desarrollo De Nanosistemas Basados En Selenio Para El Tratamiento De Enfermedades Infecciosas: Un Enfoque Prometedor En La Lucha Contra La Tuberculosis. [Roberto Álvarez-Fernández García](#)
- P21** - Desarrollo de dispositivos 3D modificados con redes metal-orgánicas para el análisis de antidepressivos. [María Jesús Lerma García](#)
- P22** - "evaluación del contenido de aminos biógenas y aminoácidos en chocolates a través de HPLC-MS/MS y técnicas quimiométricas". [Laura Morales Erazo](#)
- P23** - magnetic deep eutectic solvent versus deep eutectic solvent: a comparative study for determination of bisphenols in edible oil samples. [Cristina Zapater](#)
- P24** - Application of a sorbent based on graphene oxide modified with magnetic nanoparticles for the separation of organic contaminants in wastewater. [Ana B. Martínez Piernas](#)
- P25** - The use of deep eutectic solvents in molecularly imprinted polymers from the green analytical chemistry point of view. [Daniel Gallart Mateu](#)
- P26** - Desarrollo de aptasensores para la detección de toxinas marinas en el medioambiente. [Ana Isabel Pérez López](#)
- P27** - Modificación de papel con PVC-difenilamina como fase sorbente sostenible para la extracción de opioides en muestras de saliva. [Ana M. Pedraza-Soto](#)
- P28** - Papel modificado con ácido húmico como sorbente intercambiador catiónico asequible para el aislamiento de drogas básicas en muestras de saliva. [Carlos Calero-Cañuelo](#)
- P29** - Inmovilización de micropartículas de intercambio catiónico sobre papel para el aislamiento selectivo de opioides en muestras de saliva y orina. [Ana M. Pedraza-Soto](#)
- P30** - Análisis de la homeostasis del fósforo en streptomyces coelicolor mediante single cell y single particle ICP-MS. [Paula García Cancela](#)
- P31** - Estudiando la bioacumulación de nanopartículas metálicas en diferentes hongos silvestres comestibles. [Andrés Suárez Priede](#)



- P32** - Caracterización elemental de estructuras nanométricas individuales mediante ICP-MS: desde formas esféricas a nanotubos de hierro y nanobarras de platino. [Sara González Morales](#)
- P33** - Nanosistemas para el transporte de cisplatino: evaluación de la incorporación y distribución espacial en sistemas celulares complejos. [Lucía Gutiérrez Romero](#)
- P34** - Bioaccesibilidad elemental y nanopartículas endógenas en insectos de granja: en busca de alimentos sostenibles de calidad. [Andrés Suárez Priede](#)
- P35** - Trace level determination of 14 phthalates in edible oils by combination of solid-phase microextraction and gas chromatography-mass spectrometry. [Evaristo Ballesteros](#)
- P36** - Monitoring of the presence of benzophenones and derivatives in surface water samples by solid-phase extraction and gas chromatography mass-spectrometry. [Evaristo Ballesteros](#)
- P37** - Extracción en fase sólida de fluoroquinolonas mediante discos rotativos impresos en 3D con agitación dual. [Miriam Beneito Cambra](#)
- P38** - Detección de trazas de nueces y avellanas en alimentos procesados con inmunoplateformas amperométricas desechables. [María Pedrero](#)
- P39** - Extracción con fluidos presurizados de compuestos bioactivos en cáscaras de cacahuete para promover la valorización de residuos y la economía circular. [Ana María Ares Sacristán](#)
- P40** - Extracción ecosostenible de compuestos fenólicos de hojas de olivo: comparación de disolventes eutécticos profundos naturales y convencionales. [Javier Saurina](#)
- P41** - Desarrollo de un sorbente de afinidad en papel origami para la extracción de lisozima. [José Manuel Herrero Martínez](#)
- P42** - Extracción selectiva del ácido domoico mediante piezas impresas en 3D basadas en estructuras LEGO®. [José Manuel Herrero Martínez](#)
- P43** - Plumaz de aves marinas como bioindicador de contaminación metálica. [María Estela del Castillo Busto](#)
- P44** - Biomonitorización de metales en orina de población adulta en la Comunidad Valenciana. [Carmen Sáez](#)
- P45** - El rol del catión y el anión en la cromatografía líquida acuosa con dodecilsulfato sódico y líquidos iónicos de imidazolio como reactivos de la fase móvil. [Carlos Josué Tereba Mamani](#)
- P46** - Estudiando la senescencia celular en cáncer colorrectal mediante inmunosensado electroquímico: un gran desafío para entenderlo y tratarlo. [María Pedrero](#)
- P47** - Determinación elemental e isotópica de boro por espectrometría de absorción molecular de alta resolución con cámara de grafito. [Flavio Venancio Nakadi](#)
- P48** - Evaluating antibiotic contamination in mediterranean olive grove soils using ultrasound-assisted extraction combined with solid-phase extraction and liquid chromatography-tandem mass spectrometry. [Andrés J. Rascón](#)
- P49** - Enhancing glycopeptide separation and identification: microseparation techniques coupled to mass spectrometry. [Laura Pont](#)
- P50** - Simple and low-cost auto-sampling system for wastewater monitoring. [Miguel Muñoz Bartual](#)
- P51** - Micro-solid phase extraction of pharmaceuticals and illicit drugs from wastewaters using monolith-coated syringe filters. [Miguel Muñoz Bartual](#)
- P52** - Empleo de materiales naturales modificados como sorbentes para microextracción en fase sólida de drogas y fármacos. [Patricia García Atienza](#)



- P53**- Nueva estrategia para la evaluación de CuONPs en alimentos de origen marino: hidrólisis enzimática asistida por ultrasonidos optimizada mediante análisis de superficies de respuesta y posterior monitorización mediante Sp-ICP-MS. [Ángel Ríos Castro](#)
- P54** - El empleo de medidas de ICP-MS de célula individual (SC-ICP-MS) en estudios de inmunoterapia. [Ángela de La Rosa Díaz](#)
- P55** - How excitation-emission matrices have revolutionised multi-way data analyses – a roadmap for multi-way calibration method developments. [Arsenio Muñoz de La Peña](#)
- P56** - El rol de la impresión 3D en la preparación de fases sorbentes planas y su aplicación en la etapa de preparación de muestra. [Francisco Antonio Casado-Carmona](#)
- P57** - Autenticación de café mediante HS-SPME-GC-MS y quimiometría. Aplicación a la detección y cuantificación de adulteraciones. [Nerea Núñez](#)
- P58** - Desarrollo de un biosensor basado en papel origami para la detección de β -Lactoglobulina en muestras alimentarias. [María Jesús Lerma García](#)
- P59** - Autenticación de café adulterado mediante FIA-ESI-MS y quimiometría. [Nerea Núñez](#)
- P60** - Influencia del catión/anión empleado como agente coacervante en la síntesis de BioSUPRAS de 1,2-Hexanodiol. [Noelia Caballero Casero](#)
- P61** - Síntesis de bioSUPRAS para la obtención de polifenoles a partir de plantas subutilizadas. [Noelia Caballero Casero](#)
- P62** - Near-infrared enhanced rhodium-based nanozyme for biofilm eradication via depropargylation. [Andrés Machuca Marcos](#)
- P63** - Nuevo biodisolvente supramolecular (BioSUPRAS) para la valorización de residuos de poda. [Alejandro Pulido Zurera](#)
- P64** - Uso de intercambiadores catiónicos débiles basados en serrín como fases sorbentes en la determinación de antidepresivos en saliva mediante espectrometría de masas. [Jaime Millán-Santiago](#)
- P65** - Cinta de aluminio recubierta con micropartículas de intercambio iónico y su combinación directa con espectrometría de masas ambiental. [Francisco Antonio Casado-Carmona](#)
- P66** - Egg white-assisted fast green synthesis of fluorescent copper nanoparticles: characterization and sensing applications. [Dimitrios Ziogkas](#)
- P67** - Desarrollo de nuevos biodisolventes supramoleculares para la valorización de residuos agroalimentarios. [María Loreto Lunar Reyes](#)
- P68** - Determinación de bisfenoles en fluido seminal mediante microextracción dispersiva por sorción sobre barra agitadora miniaturizada. [Andreu L. López-Juan](#)
- P69** - Tuning the properties of imprinted nanoparticles as antibody substitutes for bioanalysis: assessing the influence of the cross-linking degree and the peptide length used as template. [Alberto Gómez Caballero](#)
- P70** - Determinación de tetraciclinas en muestras ambientales sólidas mediante dispersión de matriz en fase sólida. [Noelia García Criado](#)
- P71** - Microextracción en fase sólida dispersiva en punta de pipeta con sorbentes magnéticos como potencial herramienta en el diagnóstico no invasivo de cáncer de mama. [Luis Miguel Moreno-Calleja](#)
- P72** - Separation of complex mixtures of duplex and triplex DNA structures by capillary electrophoresis and multivariate curve resolution. [Kanan Hatamli](#)



- P73** - Uso de redes metal-orgánicas en la determinación quimioluminiscente de peróxido de hidrógeno. [Natalia Piqueras García](#)
- P74** - Impulsando la miniaturización en el análisis clínico: determinación de bisfenoles en suero y orina empleando la microextracción dispersiva por sorción sobre barra agitadora miniaturizada. [Guillem Peris-Pastor](#)
- P75** - Determinación de sulfamidas en aguas basada en extracción en fase sólida magnética con adsorbentes comerciales incrustados. [Francisco Javier Guzmán Bernardo](#)
- P76** - Solid-phase synthesis of peptide imprinted nanoparticles targeting the SARS-CoV-2 spike protein as recognition elements for sensing. [Nora Unceta Zaballa](#)
- P77** - Solvent-assisted laser desorption coupled to flexible microtube plasma mass spectrometry for direct analysis of dried samples on paper. [Juan Francisco García Reyes](#)
- P78** - Metal-Organic Framework-coated glass vials: a step forward in analytical platforms. [Jorge Pasán](#)
- P79** - Monte Carlo peaks: generación aleatoria de bandas simuladas para la obtención de conjuntos de datos no dependientes de factores biológicos. [Jaume Bejar Grimalt](#)
- P80** - Microextracción en fase sólida dispersiva con MOFs comerciales y LC-MS/MS para la determinación de isoflavonas en bebidas de soja. [Myriam Bustamante Rangel](#)
- P81** - Chemometrical approach for the identification of the metabolism pathway of the synthetic cathinone α -phip using upcyte human hepatocytes. [Francesc A. Esteve Turrillas](#)
- P82** - Optimización de un sensor electroquímico para la detección de bisfenol a utilizando polímeros de impresión molecular basados en óxido de grafeno magnético. [Lourdes Mena Herrera](#)
- P83** - Microextracción in-situ de benzofenonas en agua mediante cintas magnéticas híbridas basadas en la integración de dominios micro y nanométricos. [Rafael Lucena](#)
- P84** - Desarrollo de un dispositivo para la microextracción dispersiva por sorción sobre barra agitadora miniaturizada basado en placas de 96 posiciones: aplicación a la determinación de THC Y CBD en saliva de fumadores de marihuana. [Cristian Azorín](#)
- P85** - Real-Time Monitoring of ions at the Single-Cell Scale with potentiometric nanosensors. [Francisco Baños-Costa](#)
- P86** - Olive oil as plasticizer in polymeric ion-selective membranes for potentiometric measurements. [Francisco Baños-Costa](#)
- P87** - Desarrollos microfluidicos para la determinación eficiente y diferenciada de xantina e hipoxantina en el control de calidad de alimentos. [Ángel López Molinero](#)
- P88** - Vibrational spectroscopy-chemometrics tandem as green analytical tool for industry quality control. [Salvador Garrigues](#)
- P89** - Disolventes eutécticos profundos naturales (nades) como alternativa verde para la obtención de carotenoides a partir de residuos de tomate. [Rosa María Alonso Rojas](#)
- P90** - Desarrollo de una metodología quiral rápida por electroforesis capilar para la separación simultánea de los enantiómeros del fungicida Fenpropidin y su metabolito ácido. [Laura García Cansino](#)
- P91** - Biosensor electroquímico de grafeno inducido por láser para la detección de lactato. [Isabel Blasco Pascual](#)
- P92** - Plataforma multisensora biocompatible para detección de frescura de alimentos. [M^a Angustias Torres-Molina Jiménez](#)



- P93** - Aplicaciones de las técnicas electroanalíticas en la caracterización de nanopartículas metálicas, microplásticos y en su interacción con contaminantes emergentes. [Juan Carlos Vidal Ibáñez](#)
- P94** - Extracción selectiva de mercaptanos, usando sales de Cu(I) en lechos de fase sólida. Aplicación a cinco mercaptanos polifuncionales en vino. [Ana Escudero Carra](#)
- P95** - A preliminary survey of the presence of organic micropollutants adsorbed onto microplastics from insular coasts. [José Juan Santana Rodríguez](#)
- P96** - Validación de un procedimiento analítico para identificar y cuantificar microplásticos y sus metales asociados. [José M. Andrade Garda](#)
- P97** - Análisis de azul de metileno en aguas con dispositivos colorimétricos in-situ empleando piezas impresas en 3D. [Roser Payà Pou](#)
- P98** - Acumulación y metabolización del antidepresivo venlafaxina y su metabolito principal O-Desmetilvenlafaxina en tres organismos marinos: *Holothuria Tubulosa*, *Anemonia Sulcata* y *Actinia Equina*. [Alberto Zafra Gómez](#)
- P99** - Bioacumulación de alteradores endocrinos químicos en la pared corporal del bioindicador marino *holothuria tubulosa*. Análisis mediante GC-MS/MS. [Alberto Zafra Gómez](#)
- P100** - Nuevo enfoque para la generación de la molécula caf utilizando libs: reacción en fase gaseosa. [Alicia García García](#)
- P101** - Redes metal orgánicas fluorescentes como alternativa a métodos convencionales para establecer la capacidad antioxidante en alimentos. [Enrique Javier Carrasco Correa](#)
- P102** - Presencia de arsénico en algas comestibles: evaluación de riesgos para la salud. [Dolores Barrón Bueno](#)
- P103** - Diseño de un método cinético para la determinación de vitamina C en cosméticos para el cuidado facial. [Vanesa Romero](#)
- P104** - Droplet luminescent Assays for fish freshness assessment using smartphone-based detection. [Nerea Villarino García](#)
- P105** - Elucidación del mecanismo de toxicidad asociado a la exposición a puntos cuánticos de perovskita de CsPbBr₂I mediante metabolómica basada en Espectrometría de Masas. [Estefanía García Calvo](#)
- P106** - Desarrollo de metodología analítica para la determinación de aminas biógenas y aminoácidos en muestras de chocolate. [Laura Morales Erazo](#)
- P107** - Evaluación de diferentes alternativas de pre-procesamiento de espectros de fluorescencia de rayos X. [Diego Ahumada Forigua](#)
- P108** - Hacia un modelo global unificado de retención para predecir huellas cromatográficas de muestras medicinales no relacionadas. [Pau Peiró Vila](#)
- P109** - REefVOLUTION: Reef-Centered analytical tools for bioremediation in marine ecosystems. [Carlos Pagan-Galbarro](#)
- P110** - Estudio de la evolución de compuestos volátiles y eficacia antifúngica de un nuevo envase activo para fruta y verdura basado en aceites esenciales. [Esther Asensio Casas](#)
- P111** - Determination of cocaine in camouflaged samples by using a green methodology. [Daniel Gallart Mateu](#)
- P112** - Estudio de la variación de la forma del pico de sustancias polares en función del contenido de modificador y la temperatura: comparación de columnas de distinta naturaleza. [Juan José Baeza Baeza](#)



- P113** - Estudio de la elución de compuestos polares con fases móviles submicelares en función de la concentración de acetonitrilo y la temperatura. [Juan José Baeza Baeza](#)
- P114** - Determinación del alérgeno Ara H1 en alimentos mediante el uso de aptámeros fluorescentes. [Miriam Beneito Cambra](#)
- P115** - Evaluating commercial vs. open-source data processing methods in GC-orbitrap-HRMS untargeted metabolomics for food authentication: thyme as a case study. [Araceli Rivera Pérez](#)
- P116** - Detection and quantification of β -Casomorphin-5 and -7 in bovine milk hydrolysates by capillary electrophoresis-mass spectrometry. [Tahereh Tehrani](#)
- P117** - Green analytical method for simultaneous determination of phthalate esters, adipate, and halodiphenyl ether residues in honeys from different botanical origins by GC-MS. [Ana M. Ares Sacristán](#)
- P118** - Development and validation of different analytical methods for determining pesticides in bee products. [José Bernal Del Nozal](#)
- P119** - Authenticating bee pollen origin by using high performance liquid chromatography. [José Bernal Del Nozal](#)
- P120** - Evaluación de la seguridad de poliolefinas recicladas destinadas al contacto con alimentos. [Estela Pérez Bondía](#)
- P121** - Desarrollo y validación de una nueva metodología analítica para la determinación de ftalatos en polen de abeja. [Beatriz Martín Gómez](#)
- P122** - Modelización de la transición del comportamiento cromatográfico entre la cromatografía líquida de fase inversa convencional y las modalidades submicelar y micelar. [Carlos Josué Tereba Mamani](#)
- P123** - Análisis y cuantificación de drogas y medicamentos en polvo del interior de diferentes entornos públicos del sur de España. [Cristina De Dios Pérez](#)
- P124** - Parental obesity predisposes the offspring to exacerbated metabolic disturbances later in childhood. [Raúl González Domínguez](#)
- P125** - ¿Es el Bisfenol A asociado a microplásticos menos biodisponible que el Bisfenol A libre?. [Llucia Garcia-Moll](#)
- P126** - Evaluación del riesgo químico en envases para alimentación infantil. [Margarita Aznar Ramos](#)
- P127** - Estudio integral de la degradación de dos bioplaguicidas y de la toxicidad de sus metabolitos tras su aplicación en pepino. [Alba Reyes Ávila](#)
- P128** - Metabolomics investigation of the beneficial effect of acute seaweed consumption in modulating the metabolic stress induced by a mixed-meal challenge. [Raúl González Domínguez](#)
- P129** - Bioaccesibilidad oral in vitro de elementos traza y nanopartículas de ZnO en algas marinas. [María Carmen Barciela Alonso](#)
- P130** - Development of a HILIC-MS/MS method for the determination of highly polar anionic pesticides in soils. [David Moreno González](#)
- P131** - Análisis y evaluación de la bioaccesibilidad in vitro de las Aflatoxinas B1, B2, G1 Y G2 en leches vegetales. [Emma Gracia Lor](#)
- P132** - Evaluación de diferentes tratamientos para la extracción de ARNm encapsulado en nanopartículas lipídicas de la Vacuna Comirnaty® (Pfizer): Espectrofotometría UV Y DLS como técnicas de confirmación. [Pilar Baena Álvarez](#)



- P133** - Caracterización analítica de nanopartículas de ZnO como aditivo en la fabricación de hormigones ligeros y estudio de su distribución superficial mediante Rayos-X y Espectrometría de Masas. [Diego Panizo Martín](#)
- P134** - Acoplamiento de una precolumna HILIC con espectrometría de masas en tándem para la determinación rápida y sin derivatización de malondialdehído en orina. [Diego García-Gómez](#)
- P135** - Upcycling polyphenols from industrial olive oil waste (LIFE CYCLOPS Project). [Rubén Titos Guillén](#)
- P136** - “Efecto Caballo de Troya” en la exposición conjunta de nanoplásticos y contaminantes orgánicos. Evaluación de la absorción y toxicidad en células de Pez Cebra. [Paloma de Oro Carretero](#)
- P137** - Estudio de la composición polifenólica y la capacidad antioxidante de extractos de hojas de olivo de diversas variedades. [Aina Mir Cerdà](#)
- P138** - Determinación de biotoxinas marinas lipofílicas en moluscos bivalvos mediante LC-HRMS. [Alejandro García Juan](#)
- P139** - Estudio del metabolismo in vitro de las catinonas sintéticas 3-CMC Y 4-CMC. [María Garrigues Ruiz](#)
- P140** - Determinación de la radiopureza de materiales de construcción del detector de materia oscura (Ds-50) para el experimento ArDM mediante técnicas de espectrometría de masas. [Ana Barrado Olmedo](#)
- P141** - Development and application of a non-target screening strategy for the identification of organic contaminants in surface waters in the Guadalquivir river basin. [Alfonso Fernández García](#)
- P142** - Estudios de disipación y degradación de plastificantes no ftálicos en suelo. [Raquel Capilla Flores](#)
- P143** - Resistencia a cisplatino en células tumorales: caracterización de modelos celulares derivados de paciente utilizando herramientas bioanalíticas basadas en espectrometría de masas. [Carlos López Portugués](#)
- P144** - Comparación de sondas de marcaje elemental para anticuerpos y su empleo en estudios de cuantificación de biomoléculas. [Ángela De La Rosa Díaz](#)
- P145** Determination of tartaric acid in ancient pottery as wine marker. [Sonia Sentellas](#)
- P146** - Aplicación de la resina Macroporosa Lewatit S7968 a la recuperación y purificación de polifenoles procedentes de residuos agroalimentarios. [Sonia Sentellas](#)
- P147** - Estudio de diferentes muestreadores pasivos para la monitorización de contaminantes regulados y emergentes en el medio marino. [Javier López Vázquez](#)
- P148** - Evaluación de diferentes estrategias de purificación y aislamiento de ARNm encapsulado en nanopartículas lipídicas: Vacuna Comirnaty® como caso de estudio. [Pilar Baena Álvarez](#)
- P149** - Perspectivas para la valorización de residuos obtenidos durante la producción de aceite de oliva: Caracterización, Extracción, Purificación Y Aplicaciones. [Javier Saurina](#)
- P150** - Identificación de los metabolitos de la 1,3-Difenilguanidina y la 1,3-Di-O-Tolilguanidina mediante estudios de metabolismo in-vitro de hígado humano. [Rosario Rodil Rodríguez](#)
- P151** - Cloración de los fármacos antipsicóticos Amisulpride, Sulpiride Y Tiapride en aguas. [Rosario Rodil Rodríguez](#)
- P152** - Determinación y destino medioambiental de pesticidas asociados a plásticos de uso agrícola. [Victoria Fernández Fernández](#)



- P153** - Acoplamiento directo de una precolumna de protección a un espectrómetro de masas de alta resolución (Orbitrap) para la determinación de aminoácidos no derivatizados en orina. [Encarnación Rodríguez Gonzalo](#)
- P154** - Multideterminación de micotoxinas en alimentos sólidos y líquidos mediante disolventes supramoleculares combinados con LC-MS/MS. [Luis Muñiz de Bustamante](#)
- P155** - Release of heavy metals from microplastics during in vitro fish gastrointestinal digestion. [Eduardo Bolea Morales](#)
- P156** - Desarrollo de un método analítico para la determinación de citrinina en alimentos empleando UHPLC-MS/MS. [Olga Pardo Marín](#)
- P157** - Determinación de biomarcadores de estrés oxidativo en orina mediante UPLC-MS/MS. [Olga Pardo Marín](#)
- P158** - On-line aptamer affinity solid phase extraction capillary electrophoresis-mass spectrometry for the analysis of protein biomarkers at the intact level in biofluids and food. [Fernando Benavente](#)
- P159** - Nueva estrategia analítica para determinar revumenib en muestras clínicas complejas: Un prometedor quimioterapéutico en la lucha contra la leucemia mieloide aguda. [Rosa Carmen Rodríguez Martín-Doimeadios](#)
- P160** - Muestreo no invasivo en la determinación de biomarcadores de neuroblastoma en orina de bebé mediante CE-UV. [José Grau](#)
- P161** - Métodos colorimétricos para la determinación de clorato en medio acuoso. [Ainara Cirion](#)
- P162** - Detección de contaminantes persistentes, móviles y tóxicos en matrices acuosas mediante cromatografía de líquidos y espectrometría de masas de alta resolución. [Mauricio Perin](#)
- P163** - Determinación enantioselectiva de los principales antibióticos fluoroquinolonas y sus metabolitos en aguas residuales y superficiales. [Noelia García Criado](#)
- P164** - Desarrollo de un método para la detección (Screening) de contaminantes persistentes, móviles y tóxicos en muestras de polvo doméstico. [Mauricio Perin](#)
- P165** - Determinación de la calidad de los alimentos mediante el análisis de la ruta de degradación del ATP. [Javier Camacho-Aguayo](#)
- P166** - Profiling of olive oil phytosterols by liquid chromatography/time-of-flight mass spectrometry using different atmospheric-pressure ionization sources. [Irene Caño Carrillo](#)
- P167** - Test colorimétrico enzimático para la determinación de atropina utilizando un smartphone. [Mario Domínguez García](#)
- P168** - Estudio ecotoxicológico de un nanomaterial de plata usado como aditivo en piensos mediante técnicas basadas en la detección de células individuales. [María Sierra Jiménez García-Alcalá](#)
- P169** - Hacia un modelo global para la detección de la enfermedad renal diabética utilizando ATR-FTIR. [Víctor Navarro Esteve](#)
- P170** - Nuevo método de determinación de antimonio en aguas contaminadas mediante GFAAS. [Andrea Muñoz García](#)
- P171** - Uso de TXRF y μ -XRF en estudios de laboratorio relacionados con la presencia y adsorción de metales en (micro)plásticos. [Eva Margui Garbulosa](#)
- P172** - Determination of synthetic cathinones in oral fluids using a molecular imprinting polymer and gas Chromatography-Mass spectrometry. [Francesc A. Esteve Turrillas](#)



P173 - Desarrollo y validación de un método no separativo para la determinación simultánea de nucleósidos metilados en orina mediante inyección directa en un espectrómetro de masas en tándem (MS/MS) con triple cuadrupolo. [Myriam Bustamante Rangel](#)

P174 - Extracción, preconcentración y determinación de arsénico en agua potable mediante GFAAS. [Álvaro Doblado Onieva](#)

P175 - Control De Calidad Y Seguridad Alimentaria Basado En La Detección óptica De Aminas Biogénicas En Alimentos. [Inmaculada Ortiz Gómez](#)

P176 - El reto de desarrollar un método multirresiduo para 250 plaguicidas por cromatografía de gases-espectrometría de masas de alta resolución en leche de origen animal y vegetal. [Marta Vargas Pérez](#)

P177 - Determinación de DNA de sésamo basado en el empleo de nanopartículas de oro funcionalizadas y un software de análisis de color. [Inmaculada Ortiz Gómez](#)

P178 - Aplicación de la desorción térmica y la cromatografía de gases con detección mediante espectrometría de masas en tándem para la identificación y cuantificación de microplásticos en matrices ambientales. [Laura Martín Pozo](#)

P179 - Determinación de compuestos de silicio en aceite de pirólisis de plásticos mediante cromatografía y espectrometría de masas. [Francisco Calderón Celis](#)

P180 - Determination of antioxidant activity (DPPH and ABTS methods) and total phenolic content (Folin-Ciocalteu and Fast Blue BB Assays) of different teas and infusions by digital image analysis. [Maidier Zugazua Ganado](#)

P181 - Determinación de pesticidas Neonicotinoides en muestras alimentarias de origen vegetal mediante fluorescencia molecular fotoinducida. [Nielene María Mora Diez](#)

P182 - Determinación de pesticidas Carbámicos mediante HPLC-DAD en muestras de agua de río y mosto. [Nielene María Mora Diez](#)

P183 - Determinación conjunta de metabolitos endógenos procedentes de estrés oxidativo y nitrativo en orina mediante cromatografía líquida de modo mixto con espectrometría de masas en tándem. [Eliseo Herrero Hernández](#)

P184 - Fluorescencia intrínseca de aminoácidos aromáticos para el análisis de biofármacos proteicos: Pembrolizumab y Vosoritida. [Natalia Navas Iglesias](#)

P185 - Determinación de microplásticos en presencia de grandes cantidades de partículas empleando espectrometría IR mediante láser de cascada cuántica. [José Manuel Andrade Garda](#)

P186 - Estudio de la seguridad alimentaria del uso de bolsas de hidratación de PUT mediante el análisis de migración de compuestos volátiles y no volátiles. [Carlos Jiménez Estremera](#)

P187 - Estudio de la degradación de fármacos quirales en suelos tratados con lodos de depuradora o regados con agua residual. [Irene Aparicio](#)

P188 - Acoplamiento de un material de acceso restringido (RAM) con espectrometría de masas en tándem para la determinación rápida en orina de metabolitos de retardantes de llama. [Gabriela Cristina Chango Lescano](#)

P189 - Determinación enzimática simultánea de Hipoxantina y Xantina. [Isabel Sanz Vicente](#)

P190 - Simbióticos productores de ácidos grasos de cadena corta para el tratamiento de la obesidad infantil. [Rosa María Alonso Rojas](#)

P191 - Características analíticas de la determinación enzimática de xantina. Referencias para su implementación en el control de la calidad de alimentos. [Ángel López Molinero](#)



XXIV Reunión de la SEQA

Sociedad Española de Química Analítica



ZARAGOZA 1-3 JULIO 2024

- P192** - Determination of pharmaceutical and illicit drugs in wastewater by solid-phase extraction and Liquid Chromatography-Tandem Mass Spectrometry. [Miguel Muñoz Bartual](#)
- P193** - Perfil de compuestos volátiles en avispones y nidos para la diferenciación de colonias de vespa velutina. [Omaira de la Hera Fernández](#)
- P194** - Estudio estacional de la presencia de antibióticos en los puntos de La Red Natura 2000 del curso central del Río Tajo en Castilla-La Mancha. [Cristina De Los Reyes Ramos](#)
- P195** - Comparación del perfil fenólico de aceites de oliva vírgenes provenientes de olivares sometidos a distintos regímenes agronómicos. [Lucía Olmo García](#)
- P196** - Empleo de una aproximación no dirigida LC-IMS-MS para investigar el perfil metabólico de frutos de aguacate cultivados en diversas regiones de la Península Ibérica- [Maria Gemma Beiro Valenzuela](#)
- P197** - Estudio de la evolución cuantitativa de fitoquímicos de interés del mesocarpio del aguacate durante su maduración: Targeted LC-MS para comparar variedades hass, fuerte y bacon. [Alegría Carrasco Pancorbo](#)
- P198** - Estudio de las alteraciones del perfil lipídico durante el envejecimiento visual mediante espectrometría de masas de alta resolución. [Clara de Lorenzo González](#)
- P199** - Lipidómica y transcriptómica de la incorporación de ácido erúico en la biosíntesis de triacilglicerol durante la maduración de las semillas de Pennycress (*Thlaspi arvense*). [Vicente L. Cebolla Burillo](#)
- P200** - Ensayo de amplificación acoplado a nanopartículas de oro para detección de especies marinas. [Patricia Alcázar](#)
- P201** - Validation of different strategies of optical POCs for biomarkers of the quorum sensing system of *Staphylococcus aureus*. [Arantza Narváez](#)
- P202** - Design and electrochemical characterization of DNA-Ag-NCs as labels for immunoassays. [Arantza Narváez](#)

